

オペレーティング・システムの動的資源管理方式の評価

久保秀士, 土井根敏明, 大野直哉, 小野隆喜
(日本電気(株) 中央研究所)

1.はじめに

オペレーティング・システムにおける資源管理はコンピュータ・システムのハードウェア的及びソフトウェア的リソースを管理し、個々のジョブに適切に割当することにより、システムとしての性能目標の達成を図る。性能の指標はエンドユーザから見ると応答時間であり、システム管理者からはスループットである。コンピュータ・システムの形態の複雑化、特にオンライン、TSS、RJE、バッチが共存し並列処理される多次元処理の採用とシステムの大規模化の傾向から、各ジョブから飛せられる応答性要求は多様化し、スループットに対する要求も厳しくなってきており、また、両者のバランスのとり方の制御も重要な要素になってきている。時々刻々変動するジョブの特性、システムの状況に応じた制御を行ふため、資源管理は動的に行われる必要がある。

過去においても、断片的な動的資源管理方式は広く研究対象になつておらず、インプリメンツもされているが¹⁾、スループット、応答性を総合的にバランスよく達成する制御はIBMのOS/VS元のSRM (System Resources Manager)で初めて試みられた²⁾。SRMではアドレス空間を単位とするスワッピングを制御手段として用いている。スループット向上方には入出力系をチャネル単位で扱うためにきめが荒く、応答性に関してはサービス率の指定に基く制御をしているが、これは各ジョブの応答性要求に直接的に答えることにはならないと思われる。また、パラメタの設定が煩雑であり、物理的イメージの明確でないものが多いた。

ここでは、よりきめ細い制御によるスループットの向上と、直接的な応答性指定に基く応答性の制御及びこの両者のバランスを制御可能にすることを狙いとして、ディスクパッキング、スワッピングの各レベルにおいて様々な制御方式を考え、シミュレーションを用いて比較評価を行っている。

2. シミュレーション・モデル³⁾

2.1 モデルの構成

モデルの基本的構成を図1に示す。バッキング・ストア、主記憶、CPU、入出力機器の各リソースの割当てに關して制御が可能であるが、ここでは主記憶の割当てをスワッピング・レベルの制御として、CPU及び入出力機器の割当てをディスクパッキング・レベルの制御として、この両者を扱っている。

モデルにおけるシステム構成とハードウェアの性能を表しに示す。ディスクのシーク時間はファイルの配置の効果を考慮してハード的な平均値より短くしてある。ディスク制御装置における競合をシミュ

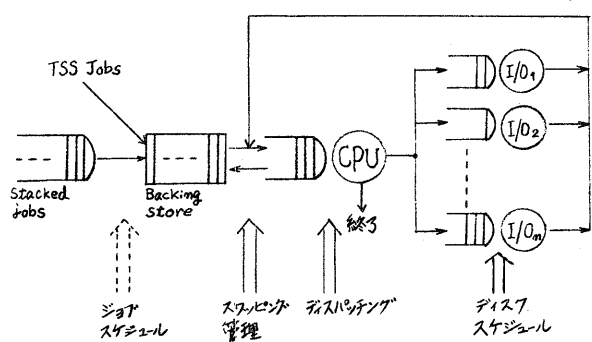


図1. モデルの基本的な構成

表1. システム構成及びハードの性能

	台数	性能
CPU	1	1 MIPS
ディスク (ファイル用)	12 * (MSC 2台)	Seek(平均) 20ms 回転待ち 8.3ms データ転送 1MB/s
ディスク (ストップ用)	1 (MSC 1台)	同上
CR	2	1050枚/分
LP	3	1500行/分

* 応答評価は8台で行っている

システム負荷の特性はジョブ発生時に決定される特性、到着特性、実行時に決定される特性で定まる。到着特性はTSSでは未アソン到着とし、バッチではスタッフされている状態から開始されるものとする。他の2つの特性(ログラム特性)に関しては図示に示す手順で決定した。ここでは制御アルゴリズムの比較を可能にするため、次の2点に留意している: ① ラミュレーションのケース(制御方法の別)により負荷特性が変わらないようにすること、② アルゴリズムが制御の手がかりにしようととしているジョブの性質は正確に反映すること。

ジョブ発生時にまず「タイプ」を決定する。これに従ってジョブ固有の性質が定められる。バッチ・ジョブには9タイプある。表記にその特性を示す。純走行時間とはシングルログラム時の走行時間である。I/O間隔にはOSの入出力管理の時間も含んでいた。これらの特性値は稼動中のログラムの実測値に基づいて決定した。他の性質としてアクセスするファイルとその使用比率がある。ファイルとディスクの対応はジョブ毎に決定する。従って、ジョブ毎に各ディスクの使用比率が与えられることになる。また、ジョブ毎に乱数発生器をもたせて実行時における入出力先の機器、I/O間隔の決定に使用し、各ジョブについてケースによらず全く同一の特性をもたらせるようにした。

表2. ジョブヒジョブスタッフの特性

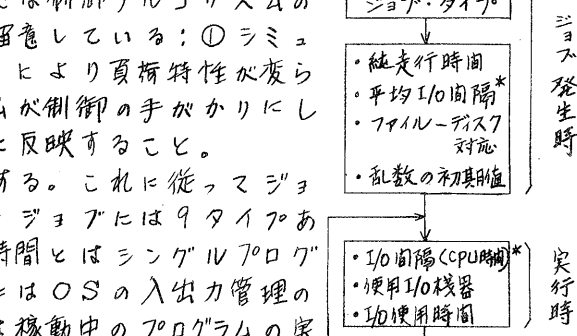
特性 タイプ	平均純走行時間 (秒)	平均I/O 間隔 (Ksteps)	特性⑤の 発生個数	特性⑥の 発生個数
FTN-CPL	20.0	6.5	6	20
COB-CPL	30.0	5.0	8	3
LINK	15.0	3.0	18	22
COB-OBJ1	240.0	2.0	13	2
COB-OBJ2	200.0	10.0	10	5
FTN-OBJ	40.0	100.0	9	22
SORT	200.0	2.5	8	3
INPUT-RDR	40.0	3.0	15	13
OUTPUT-WTR	120.0	6.5	13	12

レートされる。

モデルはGPSS/V-6 (ACOS-6) で記述された。OSの制御機能ごとにトランザクションを用意し、必要に応じてそれらが動くようモデル化している。これにより制御アルゴリズムの切換が容易になっている。ジョブも各自が一つのトランザクションで表現され、これらが図1のモデル上を動き回る。

2.2 ジョブ・ログラム・モデル

システム負荷の特性はジョブ発生時に決定される特性、到着特性、実行時に決定される特性



* 分布は位相2のアラン分布
図2. ジョブ特性の決定手順

スループット向上方式の評価においてはジョブを100個発生させてスタッフしておき、その全体を処理終了するまでラミュレーションしている。ジョブ・スタッフ特性は事務計算指向(特性⑤)、科学技術計算指向(特性⑥)の2種類を用意した(表記)。

シミュレーションでは次の点を簡略化したモデルを使っている。

- 主記憶ヒッキング・ストアの多重度はそれを固定とする。(ログラム・サイドの違いは意識しない。)

- 3) バッチ・ジョブ・ログラムの純走行時間は実際の(表記の) $\frac{1}{4}$ に設定する。

- 4) 資源管理のためのオーバヘッドは原則として考慮しない。

3. スループット向上方式の評価^{④, ⑤)}

3.1 シミュレーション条件

まず“ディスペッチング・レベル”的にこの結果を踏まえスワッピング・レベルのシミュレーションを、次の条件の下で行った。

- 1) ジョブの選択：ディスペッチング・レベルではジョブの発生順に主記憶に入れ、スワッピング・レベルでも同様にしてバッキング・ストアに入れる。
- 2) 主記憶及びバッキング・ストア(BS)の多重度：主記憶の多重度は8 BS の多重度は16にそれぞれ固定する。但し、RDRタイプのジョブ又個、WTRタイプのジョブ3個まではこれと別枠で入りうるものとする。
- 3) 制御のオーバヘッド：スワッピング・レベルの評価では、ジョブ単位のスワッピング・インまたはアウトにCPU時間10ms、ディスクとの転送時間100msを仮定している。その他のオーバヘッドは考慮していない。

3.2 ディスペッチング・アルゴリズム

シミュレーション評価の対象とした制御アルゴリズムは以下の通りである。

- 1) DFI FO 方式：CPU及びI/O機器に対する待ち行列は先着順に処理される。
- 2) DDO 方式：リソースの稼働率の和が常に最大になるようにディスペッチング・フライオリティを制御することを狙いとする。このため、リソースをも、主記憶上のジョブを手で表現し、単位時間にジョブに割当てられるCPU時間をまととした時、目的関数Fを次のように定義する。

$$F = \sum_j \left(\frac{\sum_i n_{ij}}{n_i} / n_i \right) t_j \quad \begin{cases} n_i: \text{単位時間当たりのリソース } i \text{ の処理能力} \\ n_{ij}: \text{ジョブ } j \text{ が CPU を単位時間使用する間に} \\ \text{用いる他のリソース } i \text{ の使用量} \end{cases}$$

このFが次の制約式の下で最大になるかを線型計画法(LPP)で求める。

$$\begin{cases} \sum_i n_{ij} \leq n_i & \text{但し, } D_j: \text{ジョブ } j \text{ の単位純走行時間当たりの} \\ t_j \leq D_j & \text{CPU 時間} \end{cases}$$

求めたなどを使用して、 $\text{IOC}_j \times t_j / D_j$ を計算し、この値の大きい順にCPUフライオリティをつける。 IOC_j はジョブjにCPUを単位時間割当てた時の総I/O回数である。I/OフライオリティはCPUと同じである。

- 3) DK 方式：スタック・ジョブ全体としての各リソースの使用比率が予め判っているものとして、常にこの比率に近い比率で各リソースが使用されるようすることを狙う。このため、DDO方式と同じくLPPを用いて、次の制約式の下でFが最大になるかを求める。

$$\begin{cases} \sum_i t_j \cdot n_{ij} \leq a_i \cdot n_i & \text{但し, } [a_i: \text{リソース } i \text{ の使用比率} \\ t_j \leq b \cdot D_j & b: \text{ジョブ } j \text{ のアクティブ時間の制約係数} \end{cases}$$

求められた t_j を使用し、DDO方式と同様にしてCPUフライオリティを決定する。I/Oに関しては先着順で処理している。

- 4) APG 方式：CPUフライオリティは平均I/O間隔の短い順につける。モデル上で測定した値をもとに一定周期毎に計算している。I/Oに関しては先着順処理である。

- 5) SR 方式^{⑥)}：CPUフライオリティはAPGと同じ方法でつける。I/Oに関しては各機器ごとに、その機器を使う割合の少いジョブほど高いフライオリティをつける。使用割合はジョブ発生時に、各ジョブが各リソースを使用する時間割合 α_{ij} を求めておいて、この値を使っている。

6) DS 方式: CPU ライオリティは APG と同じ方法でつける。ディスクへの入出力要求についてはディスク別待行列の中から現在のアーム位置に最も近いシリンドルに I/O 要求を出しているものを選択し、サービスする。

3.3 スワッピング・アルゴリズム

スワッピング・レベルの評価でとり上げた制御アルゴリズムは以下の通りである。すなはち、ジョブ特性データは測定値ではなく設定値を用いている。

1) SFIFO 方式: スワップ・インの順序はジョブ発生順であり、強制的なスワップ・アウトは行わない。ディスペッチング・レベルの制御は APG と同じであるが、測定値ではなく、ジョブ発生時に定められた平均値に基いてライオリティを定めている。

2) SDO 方式: ラミュレーション開始時及びジョブ終了時に、新たにスワップ・インすべきジョブを決定するため、バックキング・ストア中の全ジョブを対象に、次の目的関数 F と制約式をもつ LPP を解き、 δ_j を求める。

$$F = \sum_j \left(\frac{\sum_i n_{ij}}{n_i} \cdot s_j \right), \text{ 制約式 } \begin{cases} \sum_i \delta_j \cdot n_{ij} \leq n_i \\ \delta_j \leq D_j \end{cases}$$

【但し、 δ_j はジョブ j が主記憶上にあれば 1.0、そうでなければ 0.85 とし、スワッピングによる損失を折込んでいる。】

そして、 δ_j/D_j の大きい順に主記憶の多量度分のジョブを選択し、スワッピングを行う。ディスペッチング・レベルの制御は DDO 方式と同様に行う。

3) SK 方式: SDO 方式と同じ目的関数、DK 方式と同様の制約式をもつ LPP を解いて δ_j を求め、SDO 方式と同様にスワッピングを行なう。ディスペッチング・レベルの制御は DK 方式と同様に行なう。

4) DSM 方式: ジョブ終了時及び一定周期毎に、CPU 及びディスク制御部の使用率が、各々に対して設定された許容使用率の範囲内に常に納まるよう、スワッピングで制御する。ディスペッチング・レベルの制御は APG 方式で行なう。

5) SLB 方式: 文献[7]の提案に改造を加えた方式である。主記憶上のジョブを対象として、SR 方式で定義した X_{ij} を使用して $X_i = \sum_j X_{ij}$ を定義する。ジョブ終了時には、終了したジョブを除いて X_i を算出し、BS 上の全ジョブについて $E_j = \sum_i X_i X_{ij}$ を求め、 E_j が最小のジョブをスワップ・インする。また、一定周期毎に主記憶上のジョブについて $E_j = \sum_i (X_i - X_{ij}) \cdot X_{ij}$ を求め、この値の最大になるジョブ（最大値を E_{\max} とする）を決定し、次に今求めたジョブを除く残りの主記憶上のジョブについて、再度 X_i を算出する。この X_i を用いて BS 上の全ジョブに対して $E_j = \sum_i X_i \cdot X_{ij}$ を求め、この最小になるジョブ（最小値を E_{\min} とする）を選択する。そして E_{\max} が E_{\min} より大きく、その差が一定値以上の時、これらのジョブのスワッピングを行う。ディスペッチング・レベルの制御は APG 方式で行なう。

3.4 ラミュレーション結果と検討

表 3 にディスペッチング・レベルのラミュレーション結果の一部を、図 3 に CPU の平均待ち時間とディスクの平均待ち時間の制御アルゴリズム間ににおける比較を示す。表 3 に示すように、ジョブ・スタック処理時間は、静的な制御 (DFIFO) の場合に比べ動的な制御を導入することによって約 18% ~ 20% 程度短縮されている。アクティブ・リソースの平均数 (CPU とディスクの使用率

表3. ディスパッチング・レベルのシミュレーション結果

項目	アルゴリズム	DFIFO	DDO	DK	SR	DS	APG
事務計算指向	全処理時間 (sec)	539.3	464.1	477.1	480.5	470.0	476.2
CPU使用率 (%)	51.2	59.3	57.7	57.3	58.6	57.8	
CPU平均待ち時間(ms)	14.27	2.41	3.35	2.41	2.38	2.32	
ディスク平均待ち時間(ms)	17.06	18.16	16.81	16.90	17.00	17.95	
同時にアクティベートリースの平均数*	5.29	6.02	6.02	6.13	6.11	6.08	
技術計算指向	全処理時間 (sec)	349.9	296.9	299.5	292.2	280.6	290.3
CPU使用率 (%)	68.3	80.5	82.6	81.8	85.2	82.3	
CPU平均待ち時間(ms)	49.95	16.6	16.0	13.97	14.80	14.45	
ディスク平均待ち時間(ms)	23.81	23.07	20.24	22.44	20.66	25.78	
同時にアクティベートリースの平均数*	4.33	5.17	5.43	5.43	5.17	5.35	

* 主記憶多重重複38の間の値(CPUとディスクが対象)

の和)で見ると、12%～25%程度向上している。しかし、動的な制御アルゴリズム相互の間ではそれ程大きな差は見られない。スルーポット向上の原因は、図3から明らかのように動的な制御によってCPU待ち時間を大幅に短縮できたこと大きい。一方、図3に示されているように、ディスクの平均待ち時間がいくつかの制御アルゴリズムにおいてDFIFO方式の場合より長くなっている。特に個々のディスクを識別していないAPG方式では、識別して制御しているDK方式などに比べ長くなっている。また、別に行なわれた小規模なシステムに関する同様なシミュレーション結果では、どの動的な制御もDFIFOよりもディスクの平均待ち時間は短くなっている⁴⁾。これらのことから、大型のシステムでは個々のI/O機器を意識し、I/Oフローライオリティの制御も行なうアルゴリズムが望ましいと考えられる。DDO方式において線型計画法で求めた最大スルーポットと実際で実現されたものとを比較すると、⑤が81%，⑥が89%の達成度が得られていた。このことから、各ジョブの使うリソースの数が多くシステム規模も大きいような場合が特に制御が困難であり、遂に言葉とまだスルーポット改善の余地が残されていると言えようである。

次に、スワッピング・レベルのシミュレーション結果の一部を表4に、平均

表4. スワッピング・レベルのシミュレーション結果

項目	アルゴリズム	SFIFO	SDO	SK	DSM	SLB
事務計算指向	全処理時間 (sec)	438.3	437.5	411.1	424.1	420.4
CPU使用率 (%)	67.0	67.3	71.7	69.4	70.0	
1秒出するまでのCPU平均待ち時間(ms)	2.86	3.85	3.68	3.89	2.78	
1秒要求割りのディスク平均待ち時間(ms)	18.93	14.64	13.12	17.14	13.04	
スワッピング/アウト回数	72	110	168	106	112	
同時にアクティベートリースの平均数*	4.92	5.02	5.23	4.95	5.23	
技術計算指向	全処理時間 (sec)	280.0	279.1	270.0	270.7	266.5
CPU使用率 (%)	93.4	93.7	97.0	96.6	98.2	
1秒出するまでのCPU平均待ち時間(ms)	33.79	30.24	29.81	28.15	25.89	
1秒要求割りのディスク平均待ち時間(ms)	26.14	22.02	19.48	27.24	21.42	
スワッピング/アウト回数	75	87	119	93	113	
同時にアクティベートリースの平均数*	3.59	3.73	3.91	3.81	3.92	

* 主記憶多重重複38の間の値

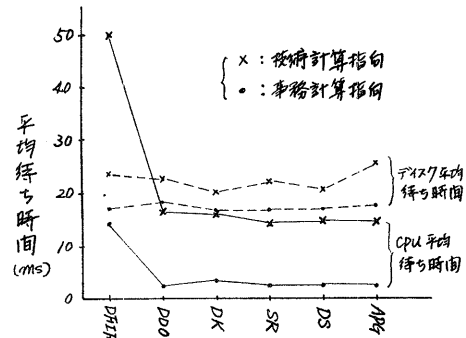


図3. ディスパッチング・レベルの待ち時間

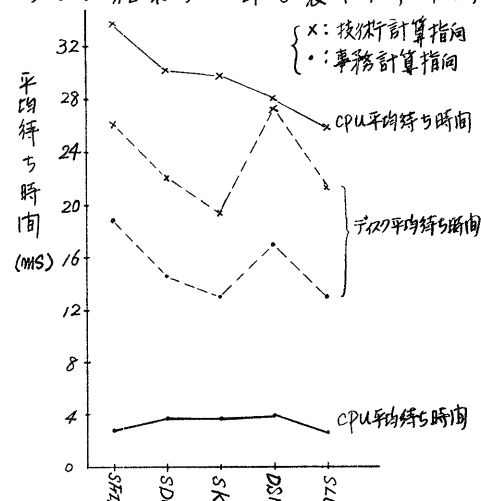


図4. スワッピング・レベルの待ち時間

CPU待ち時間と平均ディスク待ち時間を図4に示す。SLBとSKの二方式か他の方式に比べて効果が大きく、"ディスペッ칭"・レベルの制御による向上の上に更に6%~9%のスルーフット向上が得られている。個々のディスクまで考慮する方式は考慮しない方式に比べて向上度が大きいが、このことは図4における待ち時間で裏づけられており、個々のI/O機器まで意識するのか望ましいことが示されている。SFIFO方式はジョブ・スケジュールの順序によってスルーフットが大きな影響を受けるが、SKやSLB方式を導入すると影響をほとんど受けず、安定した高スルーフットが得られることも確認されている。スケジュール順序が悪い場合はSFIFOより17%の向上が得られた例がある⁵⁾。

4. 応答性向上方式の評価

応答性については、直接的に応答時間目標を設定しこれを達成するように制御することが望ましい。スルーフットを低下させない配慮も重要である。以下ではこのためにここで採用した方式の説明とその評価結果について述べる。

4.1 方式の概要

応答性目標： 個々のジョブ、インターラクション、メッセージ等は何らかの応答要求タイプに属するものとする。このタイプ毎に応答性目標が、目標応答時間とその目標達成率により規定される。

GP (General Priority)： 応答時間管理は各ジョブごとに、目標の達成の厳しさを表わす指標としてGPを与える（時間的に可変）。これをディスペッチング制御、スワッピング制御で参照し、各ジョブのGPに応じて処理の優先度を考慮することにより応答時間管理が行われる。

4.2 GPの制御

応答時間管理は与えられた応答性目標を満すために、各ジョブに適切なGPを与える必要がある。GPの与え方として次のような方式を導入する。

a) デッドライン制御⁶⁾： 各ジョブの投入時には比較的低いGPを与える、目標応答時刻が迫るにつれて高いGPを与えるようにする。

b) 個別制御： 同一の応答性要求タイプに属するジョブでも、個々に目標応答時間の達成の難易が予測できる場合、要求の厳しいジョブには高いGPを、達成の容易なジョブには低いGPを割当てるようとする。

c) フィードバック制御： 各時点における全体の負荷、各タイプ毎の負荷状況、目標応答時間の達成状況に応じて、各タイプに与えるGPを制御する。これにより、各負荷レベルに亘って一定の応答時間達成が可能となる。

4.3 制御アルゴリズム

a) スワッピング管理

GPに3つのレベル (L_1, L_2, L_3) を設け、各ジョブが属するレベルに応じてスワッピングを行う。すなわち、 L_1 は最も高応答が要求されるレベルで、 L_1 のジョブが発生すると主記憶に空きがない場合でも、これより低いレベルのジョブを追出して空きを作った上でスワッピングが行われる。 L_2 はある程度応答時間要求するレベルである。 L_2 にあたるジョブは、他のジョブの終了等で主記憶に空きができる時は優先的にスワッピングされるが、他のジョブを追出してまではスワッピングされない。また、スワッピングに際しては、このレベルの中でもGPの高いジョブが優先される。 L_3 は最も優先度の低いレベルで、このレベルのジョブは応答時間の観点からはスワッピングの対象にはせ

す、L1, L2 のジョブが無い時にスループットをよくするヒュラ立場から選択されてスワップインされる。

このように3つのレベルを設けたのは、スワッピングが頻繁に発生するような事態を防ぐことを狙ったものである。また、バッチジョブの主記憶上での多度に制限を設け、主記憶に空きがある場合でも、この多度以上はバッチジョブをスワップインしないようしている。これはバッチジョブのスワップアウトされる回数を抑えるためである。

4.4 ディスペッチング管理

GP の値により3つのレベルに分け、ディスペッチングの行い方を区別する。即ち、下のレベルにあるジョブにはAPG方式で優先順位を与え、上のレベルにあるジョブにはこれより高い優先順位を与えろ。

4.4 シミュレーションの方法

固定優先順位方式、スワッピング・レベルだけにデッドライン制御を導入した場合、ディスペッチング・レベルでち考慮した場合、個別制御を導入した場合、の各場合についてシミュレーションを行った。モデルは既に示したもの通りである。

応答性向上方式の評価のシミュレーション条件を次に示す。システムではバッチ・ジョブ及び4タイプのTSSジョブが実行される。表5にTSSのジョブ特性、応答目標を示す。バッチ・ジョブは特性⑤(事務計算指句)に従って最初60個発生させてスタートしておく。各バッチ・ジョブにも応答目標(3タイプ)が規定されている。主記憶多度は8に、バッチのBS多度は10に固定するが、TSSジョブのBS多度に制限は設けない。スワップインまたはアウトのためのCPUオーバヘッドは50msとする。シミュレーションはTSS負荷(TSSジョブの発生個数/秒)が1.0, 1.5, 1.67, 2.0の各場合について行った。シミュレーションは残りバッチ・ジョブ数が(主記憶多度 - 1)になると終了するものとする。

固定優先順位方式ではバッチ・ジョブに対してCPU時間1000msのタイムスライシングを行う。終了時に自分と同等か高優先度のジョブがあれば、それらの間でスワッピングが行われる。TSSジョブに関してはタイムスライシングなしの方がよい応答性が得られたので、なレとした。優先度はバッチ・ジョブよりもTSSジョブを高くし、バッチ・ジョブ内には応答目標に応じて3ランク設けた。

デッドライン方式ではGP1~3をL3, 4~5をL2, 6~8をL1とし、GP9以上はディスペッチングでAPG用よりも高い優先度を与えている。デッドライン制御では目標応答時間の1/4経過するごとにGPを1ブロック上げていく。バッチ・ジョブには1~5の間のGPを与え、L3ジョブのスワップインまたはアウト対象の決定はSK方式に基づいて行っている。

なお、両方式とも、バッチ・ジョブの主記憶多度に制限を設け、その制限を越えてはバッチ・ジョブはスワップインできないとする。また、今回のシミュレーションではフィードバック制御は、シミュレーション結果を見てパラメタ値を修正することにより、オンラインで行われている。

表5. TSSの特性
(*) 分布は位相Zのアラン分布

ジョブ タイプ	ジョブ特性			応答目標	
	(*) 平均純走行 時間(ms)	(*) 平均I/O 時間(ms)	発生率	目標応答 時間(sec)	目標未達 成率(%)
TSS 1	520	16	0.53	5	5
TSS 2	2000	5	0.15	10	10
TSS 3	3500	17	0.07	15	10
TSS 4	650	50	0.25	5	10

4.5 シミュレーション結果および検討

図5～7に、TSS負荷(TSSジョブの発生個数/秒)を1.5, 1.67, 2.0とした時の各アルゴリズムにおける応答時間目標の未達成率を示す。また、表6に、これらの各ケースにおける応答時間、スルーポート等を示す。

(1) スワッピング・レベルでデッドライン制御を導入する効果

"ディスパッチング"はすべてAPGを適用し、スワッピング・レベルだけにデッドライン制御を導入した場合について見る。この場合にはアライオリティの与え方により制御できるのは、主記憶の待ち時間だけである。固定優先順位方式で各タイマに対しても等しいアライオリティを与えると(FIFO, 表6の①), 表6に示すように、主記憶の待ち時間は各タイマに同様に分配される。このため、図5に示すように、目標応答時間の短いTSS1, TSS4は目標応答が達成できていない。これを改善するために、TSS1, TSS4の主記憶待ちを小さくするようにアライオリティを調整したのが②のケースである。固定優先順位方式の場合には、あるタイマの待ちは各タイマのアライオリティの順序関係により直接影響される。このため、②のケースでTSS3の未達成を改善しようとしても、TSS4の待ちが増えすぎてこれ以上調整できない。

ケース③は、デッドライン方式でTSSの全タイマにGP5ルック(初期値5で最高7まで行きうる)の等しいGPを割当てた場合であり、TSS4は未達成、TSS1は過達成である。④はこれを改善するためにGPを調整した結果である。デッドライン方式では、GPの範囲を変えることによりきめ細い調整ができるので、目標に近い応答性が実現しやすいといふことができる。

なお、デッドライン方式の場合には、全タイマに等しいGPを与えても、目標応答時間の長さによりGPの上昇速度が異なるため、目標応答時間の短いタイマのジョブの主記憶待ち時間を自動的に小さくするといふ効果がある。

(2) ディスパッチング・レベルにもデッドライン制御を導入する効果

ディスパッチング・レベルにもデッドライン制御を導入することにより、負荷レベル1.5個、1.67個/秒で、固定、スワッピングのみデッドライン導入の場合ではできなかつて応答目標の達成が可能となっている(ケース⑤, ⑦)。これは、ジョブ特性がCPUにバウンドであり、かつ目標応答が短いために僅かな主記憶待ち時間が許されなかつたTSS4が、ディスパッチ・レベルで優遇されるようになうことにより、主記憶待ち時間に余裕が生じたことが大きく貢献している。なお、固定優先順位方式で、TSS4に対してディスパッチ・レベルでも高いアライオリティを与えてしまう(ケース⑥)と、TSSは過達成になり、スルーポートは低下する。

この時の応答特性を図8に示す。デッドラインを導入すると、固定優先順位方式の場合に比べて不必要に早く終了するジョブが少なく、分散が小さくかつ目標達成度の高い、かなり良好な応答特性が得られることがわかる(ケース⑦)。

負荷が比較的低い場合には(1.5個/秒), スワッピング・レベルだけでデッドラインを導入する場合と比べてGPの初期値を高くしても、目標応答が達成できている。これにより、スワッピング回数は減少しスルーポートも向上している。なお、負荷レベル1.5/秒におけるCPUの使用率はTSS: 44～46%, バッチ: 32～34%, スワッピングOH: 9～11%, ディスク使用率は44～47%, 主記憶多密度はTSSが3.0～3.1, バッチが4.0～4.3であった。

以上のことから、デッドライン制御に関する次のことと言える。デッドライ

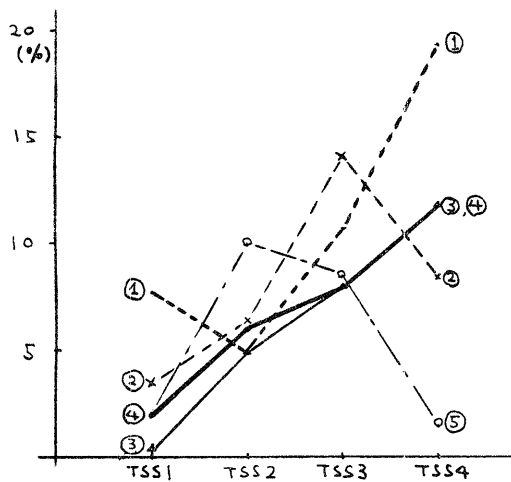


図5 タイプ別の応答目標の未達成率(負荷1.5)

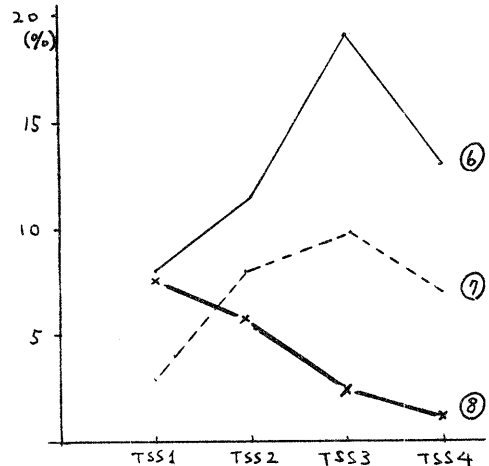


図6 タイプ別の応答目標の未達成率(負荷1.67)

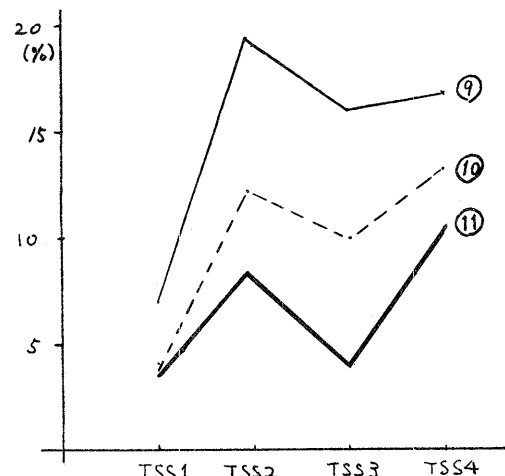


図7 タイプ別の応答目標の未達成率(負荷2.0)

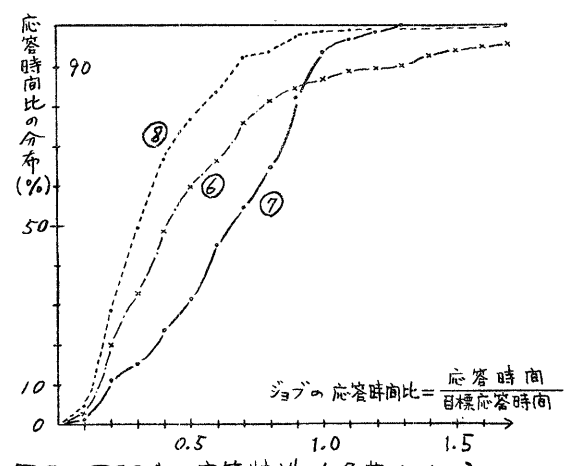


図8 TSS4の応答特性(負荷1.67)

表6. シミュレーション結果

方 式	TSS1~4のGP または 優先度	TSS 負荷	タイプ別(TSS1~4) の平均応答時間(sec)	主記憶待ち時間の平均(sec)		スワップアウト TSS全本数/sec		(4) スルーパット
				タイプ別(TSS1~4)	TSS4	タイプ別(TSS1~4)	TSS4	
① FIFO(APG)	10, 10, 10, 10	1.5	2.3 4.6 8.3 3.7	1.3	1.2	1.3	1.1	1.23 0.17 3.87
② FIX(APG)	9, 8, 8, 10	1.5	2.2 4.8 8.8 2.7	1.2	1.4	1.9	0.6	1.08 0.17 3.92
③ DL(APG)	5~7, 5~7, 5~7, 5~7	1.5	1.7 4.5 8.4 3.2	0.7	1.0	1.3	0.8	0.85 0.20 3.94
④ DL(APG)	4~6, 4~7, 4~7, 5~7	1.5	2.1 4.9 8.3 3.0	1.1	1.4	1.5	0.7	1.04 0.12 4.09
⑤ DL(APG+DRB) ⁽²⁾	4~6, 4~7, 4~7, 4~7	1.5	2.2 5.0 8.9 2.9	1.0	1.4	1.7	1.2	1.18 0.09 4.11
⑥ FIX(APG)	9, 8, 8, 10	1.67	2.5 5.8 9.5 3.2	1.5	2.4	2.4	0.6	1.44 0.16 3.94
⑦ DL(APG+DRB)	4~7, 5~7, 5~7, 4~7	1.67	2.7 5.3 9.3 3.2	1.4	1.2	1.3	1.5	1.40 0.13 3.85
⑧ FIX(FIX) ⁽³⁾	9, 8, 8, 10	1.67	2.1 5.2 8.2 1.9	1.4	1.9	2.0	0.6	1.27 0.12 3.49
⑨ FIX(APG) ⁽⁴⁾	9, 8, 8, 10	2.0	2.5 6.9 9.4 3.9	1.4	2.9	2.7	0.6	1.50 0.20 3.63
⑩ DL(APG+DRB)	5~7, 5~8, 5~8, 5~7	2.0	2.5 6.5 10.0 3.2	1.1	1.9	1.9	1.3	1.34 0.24 3.44
⑪ DL(APG+DRB) ⁽⁵⁾	5~7, 5~8, 5~8, 5~7	2.0	2.7 6.2 9.7 3.2	1.2	1.7	1.7	1.2	1.33 0.26 3.38

(1) RDR/WTR は余く (2) GPが7つ以上のジョブはディスペッチャリングでAPを用よりも高い優先度を与える (3) TSSにはバッチよりも高いディスペッチャリング優先度を与える(TSSの中ではI/O間隔の短いタイプほど優先) (4) バッチのタイムスラス 600ms

ン制御の導入により期待できる最も大きな効果は、固定優先順位方式に比べて応答目標達成度の配分がきめ細かくできるので、フィードバック制御が比較的容易に行えることと、達成率のアンバランスを小さくできるので、固定優先順位方式の場合よりも高い負荷レベルまで対応できることである。

スルーフロットについて見ると、デッドライン制御の導入により高応答を要求するジョブ（L1, L2）とそうでないジョブ（L3）の区別を明確化でき、L3のジョブに關してはスルーフロット向上に専念してスワッピングを行える。これにより、負荷が比較的軽い状況（1～1.5個／秒）では、固定優先順位の場合に比べて5～15%のスルーフロット向上が確認されている。

(3) 個別制御の効果

個別制御を導入することにより、固定優先順位やデッドライン制御のみでは対応できなかったような高い負荷レベル（2.0個／秒）においても、目標応答を達成できる（図4, ケース⑪）。これは、個別制御により、必要以上に早く終了するジョブが減少し、一方、元来達成が難しかったジョブが投入時から優遇されることの効果が表われたものである。

TSSにおけるコマンドの種類、バッチ・ジョブの投入からスケジュールされるまでの時間、あるいは前回のランの時に測定した情報などで目標応答の達成の難易が予測できる場合には、極力この情報を利用すべきであることがわかる。

5. むすび

コンピュータ・システムのスルーフロット向上、応答性向上のために、ディスク・チューイング、スワッピングの両レベルで制御を行う動的資源管理に関して幾つかの方法を考え、ミュレーションにより評価した。最適な方法を採用すると制御しない場合に比べ18～34%程度のスルーフロット向上を期待できることが示された。応答性に關しては、要求応答時間の達成の直接的保証が重要であるとの認識の下に、デッドライン制御とフィードバック制御、個別制御を組合せる方式を提案し、この有効性とスルーフロット向上方式との適合性を示した。

実際に実現するためには、オペレーティング・システムにおける資源管理の決定、簡明なユーザインターフェースの設定を行なう必要がある。更に、動的資源管理はジョブ・スケジュールも含めて統一的に行わないと効果が小さい。今後はこれらの問題も含めて、更に検討を続けていきたいと考えている。

終りに、日頃御指導頂いていた当研究所藤野部長、林津課長、有益な討論をして頂いた電気通信大学龜田助教授、当研究所箱崎主任に感謝いたします。

参考文献

- [1] R.B. Bunt, *Scheduling Techniques for Operating Systems*, Computer, Oct. 1976, 10-16.
- [2] H.W. Linch, J.B. Page, *The OS/VSE Release 2 System Resources Manager*, IBM Syst.J., 12, 4 (1974), 274-291.
- [3] 久保, 他, オペレーティング・システムにおける動的資源管理方式のGPSSを用いたミュレーション技術研究会論文集, 6, 5 (昭和52年2月), 31-36.
- [4], [5] 木野, 木井根, 他, 動的資源管理方式のミュレーションによる評価(I), (II), 情報18回大会, 321-324.
- [6] 龜田, 鳩田, 处理装置型資源の一適応制御方式のミュレーションによる評価, 情報17回大会, 191-192.
- [7] 龜田, Load Balance のための Swapping の効果, 52年信情部内会大, 340.
- [8] D.D. Chamberlin 他, *Experimental Study of Deadline Scheduling for Interactive Systems*, IBM J. Res. Develop., May 1973, 263-269.